

Abb.2.4-2  
 Statisches Transferkenn-  
 linienfeld des Inverters  
 NEG1.  
 $B_N / B_P = 38/62 \mu\text{m}$  ,  
 $L = 5 \mu\text{m}$ .

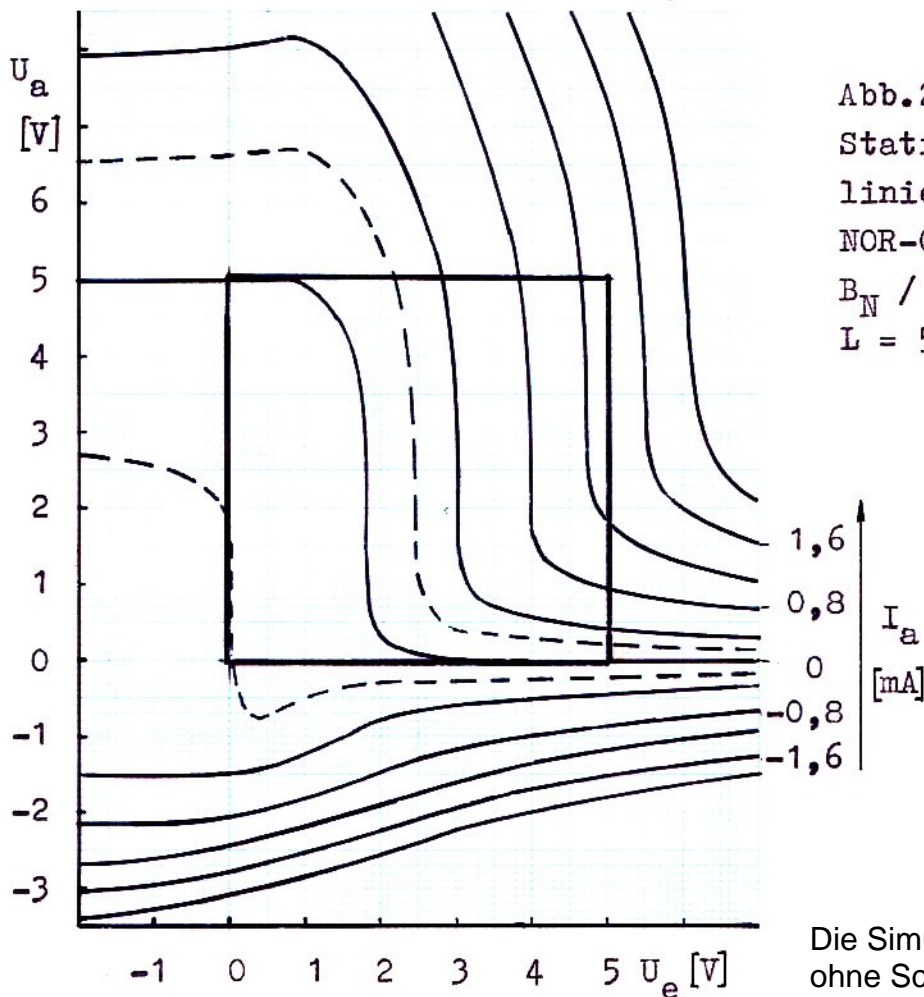


Abb.2.4-3  
 Statisches Transferkenn-  
 linienfeld des 4-fach  
 NOR-Gatters NO4.  
 $B_N / B_P = 38/62 \mu\text{m}$  ,  
 $L = 5 \mu\text{m}$ .

Die Simulation erfolgte  
 ohne Schutzdioden am  
 Eingang und Ausgang!

den nächsten Jahren möglich sein könnte, die Gatterdynamik in analytischer Form herzuleiten. Dem Autor blieb dieser Weg bislang verschlossen. In Kap.5 wird gezeigt, daß dieses statische Modell mit wenigen Modellkonstanten geeignet ist, den gesamten Dynamikbereich des Gatters prinzipiell richtig wiederzugeben.

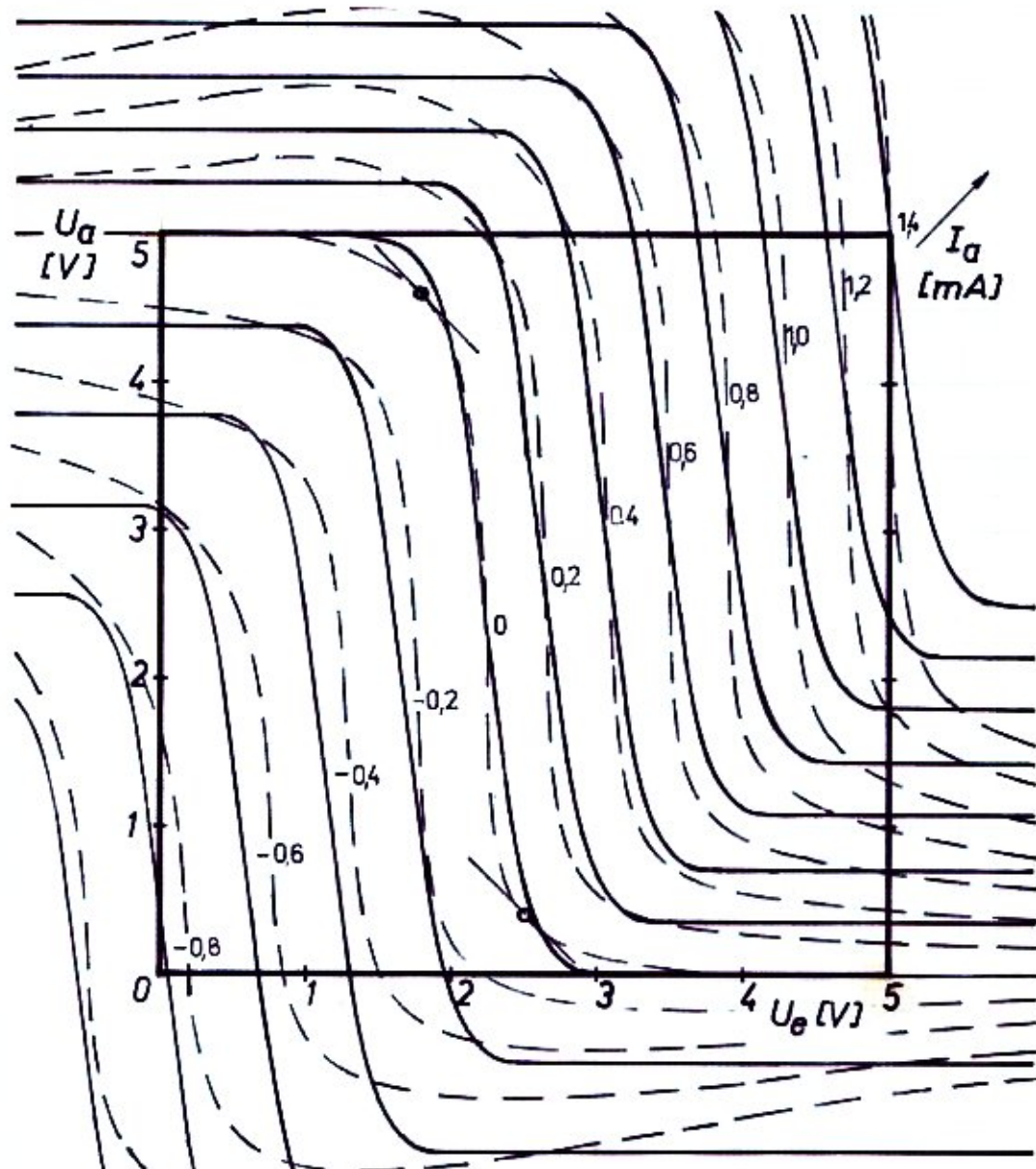


Abb.2.5-5: Modell des statischen Transferkennlinienfeldes des CSGT2-Inverters NEG1. Parameter:  $v_o = -9$ ,  $I_{DSN} = 1,4\text{mA}$ ,  $I_{DSP} = -0,83\text{mA}$ . — Modell, ---Simulation (ohne Substratdioden).

Die Simulation erfolgte ohne Schutzdioden am Eingang und Ausgang!